

УДК 539.538

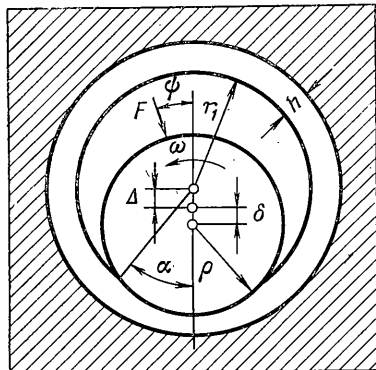
К РАСЧЕТУ ИЗНАШИВАНИЯ СОПРЯЖЕНИЯ ВАЛ — ВТУЛКА

КОВАЛЕНКО Е. В.

Рассматривается плоская контактная задача при наличии износа для пары, состоящей из вращающегося стального шипа (вала) и тонкой втулки, зажатой в стальную обойму. Предполагается, что: износ вала пренебрежимо мал по сравнению с износом втулки; материал втулки упругий; вал и обойму считаются жесткими; инерционными силами, возникающими от движения вала, можно пренебречь; сила трения связана с контактным давлением законом Кулона. Обсуждаются различные режимы изнашивания втулки: процесс приработки; установившийся режим (в частном случае абразивный износ); лавинный износ скретыванием.

Построены явные асимптотические разложения в зависимости от времени для всех основных характеристик явления при различных режимах. В качестве примера дано решение задачи, когда реализуются первый и второй режимы изнашивания.

1. Рассмотрим втулку (кольцо) наружного радиуса r_2 , внутреннего r_1 . Допустим, что по внешнему контуру кольцо соединено с недеформируемой обоймой (как отмечалось ранее, считаем вал и обойму значительно более жесткими по сравнению с втулкой), т. е. $u=v=0$ при $r=r_2$; u , v — радиальная и тангенциальная составляющие вектора перемещений.



Фиг. 1

в пределах одного оборота вала. Тогда состояние пары будем описывать либо полным числом оборотов вала с начала его работы N , либо временем t , кратным $t=2\pi N\omega^{-1}$.

За время t уравнение внутренней поверхности кольца будет иметь вид

$$R(\varphi, t) = r_1 + u_1(\varphi, t) \quad (1.1)$$

где $u_1(\varphi, t)$ — линейный износ втулки через N оборотов вала по направлению радиус-вектора с угловой координатой φ (фиг. 1). Если $|u_1(\varphi, t)| + \Delta \rho^{-1} \ll 1$, то, используя результаты [1—3], запишем условия контакта между шипом и подшипником вследствие изнашивания последнего в форме

$$R(\varphi, t) + u_2(\varphi, t) - \rho = [\Delta + \delta(t)] \cos \varphi \quad (1.2)$$

Здесь $u_2(\varphi, t)$ — радиальное перемещение вала вследствие упругого деформирования кольца, $\delta(t)$ — поступательное перемещение шипа под действием силы $F(t)$ и момента $M(t)$.

Считаем, что перемещение $u_2(\varphi, t)$ представляет собой сумму двух компонент: упругой, определяющейся формулами теории упругости [2] и дополнительной, обусловленной деформациями микронеровностей поверхности контактирующих тел и пропорциональной $[q(\varphi, t)]^\mu$ ($0 < \mu \leq 1$) [4], т. е.

$$u_2(\varphi, t) = -\frac{r_1}{8\pi G} \int_{-\alpha}^{\alpha} \left[k_0 \left(\frac{\varphi - \xi}{\varepsilon} \right) + \varepsilon k_1 \left(\frac{\varphi - \xi}{\varepsilon} \right) + \right. \\ \left. + \varepsilon (\lambda_1 + \varepsilon \lambda_2) \cos(\varphi - \xi) - \beta i l \left(\frac{\varphi - \xi}{\varepsilon} \right) \right] q(\xi, t) d\xi + \theta [q(\varphi, t)]^\mu \quad (1.3)$$

$$k_0(z) = \int_{-\infty}^{\infty} \frac{V_0(x)}{x^2 D_0(x)} e^{izx} dx, \quad l(z) = \int_{-\infty}^{\infty} \frac{V_2(x)}{x^2 D_0(x)} e^{izx} dx, \quad \lambda_1 = -4\nu^2(1-\nu) \\ k_1(z) = \int_{-\infty}^{\infty} \left[\frac{V_1(x)}{x^2 D_0(x)} - \frac{V_0(x) D_1}{x^2 D_0^2(x)} \right] e^{izx} dx, \quad V_0(x) = -2(1-\nu)[(3-4\nu)x \operatorname{sh} 2x - 2x^2], \\ V_1(x) = -2(1-2\nu)[x^2 + (3-4\nu)\operatorname{sh}^2 x], \quad V_2(x) = -2x[(3-4\nu)(1-2\nu) \times \\ \times \operatorname{sh}^2 x - x^2], \quad D_0(x) = (3-4\nu)\operatorname{sh}^2 x + x^2 + 4(1-\nu)^2 \quad D_1 = 4(1-\nu)(1-2\nu) \\ \lambda_2 = 2\nu(1-2\nu)(1-3\nu)(1-\nu)^{-2}, \quad \varepsilon = \ln(r_2/r_1)$$

$$\theta = R_{\max} \left[\frac{2\sqrt{\pi}(1-\nu)}{Gb c_\mu} \left(\frac{r}{R_{\max}} \right)^{1/2} \right]^\mu, \quad c_\mu = \frac{\Gamma(1/2+1/\mu)}{\Gamma(1+1/\mu)}$$

Здесь G — модуль сдвига материала подшипника, β — коэффициент трения, $q(\varphi, t)$ — контактное напряжение, R_{\max} — расстояние между линией выступов и линией впадин профиля в пределах базовой длины [5], r — радиус кривизны неровностей, b , μ — характеристики опорной кривой профиля.

В соответствии с усталостной теорией износа [5] основные закономерности износа различных материалов могут быть разбиты на три группы [6]:

для подавляющего большинства деталей машин имеет место процесс приработки, т. е. интенсивность (скорость) износа уменьшается с увеличением степени износа, а именно

$$u_1 = kw^\gamma [\tau(\varphi, t)]^\gamma u_1^{-c} \quad (1 \leq \gamma \leq 3, c > 0) \quad (1.4)$$

где w — осредненный по времени модуль линейной скорости скольжения, $\tau(\varphi, t)$ — касательные усилия в области контакта ($\tau(\varphi, t) = \beta q(\varphi, t)$), k , γ , c — некоторые постоянные, характеризующие износостойкость материалов, условия работы данной пары и зависят от комбинации трущихся поверхностей (см. [5] с. 298);

если интенсивность износа u_1 не зависит от степени износа, то в (1.4) следует положить $c=0$. Кроме того, для абразивного изнашивания $\gamma=c=1$ [5];

при некоторых изменениях условий изнашивания [6] может наступить процесс увеличения износа. Тогда скорость его выражается зависимостью (1.4) при $-1 < c < 0$. Сильное увеличение износа (лавинный износ схватыванием) подчиняется приблизительно экспоненциальному закону. В этом случае интенсивность изнашивания описывается формулой (1.4) при $c=-1$.

¹ Здесь и далее будем считать $0 \leq t \leq T < \infty$, где величина T такова, что $\delta(t)$ имеет порядок перемещений в линейной теории упругости.

Разрешая (1.4) относительно u_1 , получим

(1.5)

$$u_1(\varphi, t) = \left\{ m^{-1} k(\omega_0)^{\frac{1}{2}} \beta^{\frac{1}{2}} \int_0^t [q(\varphi, \tau)]^{\frac{1}{2}} d\tau \right\}^m \quad (c > -1, \quad m = (1+c)^{-1})$$

$$u_1(\varphi, t) = \exp \left\{ k(\omega_0)^{\frac{1}{2}} \beta^{\frac{1}{2}} \int_0^t [q(\varphi, \tau)]^{\frac{1}{2}} d\tau \right\} \quad (c = -1) \quad (1.6)$$

Используя теперь условие контакта вала с втулкой (1.2) и ограничиваясь представлением $u_1(\varphi, t)$ в форме (1.5), получим исходное интегральное уравнение рассматриваемой контактной задачи в виде²

$$\begin{aligned} \theta[q(\varphi, t)]^{\mu} - r_1(8\pi G)^{-1} \int_{-\alpha}^{\alpha} \left[k_0 \left(\frac{\varphi - \xi}{\varepsilon} \right) + \varepsilon k_1 \left(\frac{\varphi - \xi}{\varepsilon} \right) + \varepsilon (\lambda_1 + \varepsilon \lambda_2) \cos(\varphi - \xi) - \right. \\ \left. - \beta i l \left(\frac{\varphi - \xi}{\varepsilon} \right) \right] q(\xi, t) d\xi + D \left\{ \int_0^t [q(\varphi, \tau)]^{\frac{1}{2}} d\tau \right\}^m = [\delta(t) + \Delta] \cos \varphi - \Delta \\ D = [m^{-1} k(\omega_0)^{\frac{1}{2}} \beta^{\frac{1}{2}}]^m, \quad |\varphi| \leq \alpha, \quad 0 \leq t \leq T \end{aligned} \quad (1.7)$$

Кроме $q(\varphi, t)$ требуется определить следующие величины: половину угла контакта α из условия обращения в нуль напряжения $q(\varphi, t)$ при $\varphi = \alpha$; силу $F(t)$, как функцию поступательного перемещения шипа $\delta(t)$, согласно

$$\begin{aligned} F = (P^2 + R^2)^{\frac{1}{2}}, \quad P(t) = r_1 \int_{-\alpha}^{\alpha} q(\varphi, t) (\cos \varphi - \beta \sin \varphi) d\varphi \\ R(t) = r_1 \int_{-\alpha}^{\alpha} q(\varphi, t) (\sin \varphi + \beta \cos \varphi) d\varphi \end{aligned} \quad (1.8)$$

угол $\psi = \arctg(RP^{-1})$ и ресурс сопряжения.

Используя результаты [2] и учитывая малость относительной толщины кольца ε , упростим интегральное уравнение (1.7). Принимая во внимание асимптотическое поведение трансформант ядер

$$\begin{aligned} V_0(x) [x^2 D_0(x)]^{-1} \sim A_0, \quad V_1(x) [x^2 D_0(x)]^{-1} - V_0(x) D_1 [x D_0(x)]^{-2} \sim A_1 \quad (x \rightarrow 0) \\ A_0 = -2(1-2\nu)(1-\nu)^{-1}, \quad A_1 = -2\nu(1-2\nu)(1-\nu)^{-2} \\ V_2(x) [x^2 D_0(x)]^{-1} \sim Bx, \quad B = -(1-4\nu)(1-\nu)^{-1} \quad (x \rightarrow 0) \end{aligned}$$

будем иметь ($\varepsilon \rightarrow 0$):

$$k_j(z) = 2\pi A_j \delta(z), \quad l(z) = -2\pi i \varepsilon B \delta'(z) \quad (j=0, 1) \quad (1.9)$$

где $\delta(z)$, $\delta'(z)$ — дельта-функция Дирака и ее производная.

Подставляя теперь (1.9) в (1.7) и используя известные свойства дельта-функции, придем к следующему интегродифференциальному уравнению:

$$a_1 [q(\varphi, t)]^{\mu} - \varepsilon (A_0 + \varepsilon A_1) q(\varphi, t) - (2\pi r_1)^{-1} \varepsilon (\lambda_1 + \varepsilon \lambda_2) (P \cos \varphi + R \sin \varphi) - \varepsilon^2 \beta B q'(\varphi, t) + a_2 \left\{ \int_0^t [q(\varphi, \tau)]^{\frac{1}{2}} d\tau \right\}^m = 4G r_1^{-1} \{[\delta(t) + \Delta] \cos \varphi - \Delta\} \quad (1.10)$$

$$|\varphi| \leq \alpha, \quad 0 \leq t \leq T, \quad a_1 = 4G \theta r_1^{-1}, \quad a_2 = 4G D r_1^{-1}$$

² В рамках линейной теории упругости рассматривать $u_1(\varphi, t)$ в форме (1.6) не имеет смысла.

Оценим порядки входящих в уравнение (1.10) величин. Допустим, что $\varepsilon = \ln(1+r_1^{-1}h) \approx hr_1^{-1} \leq 0,1$, коэффициент Пуассона $\nu \leq 0,4$, коэффициент трения β не превосходит 0,2, $b=3$, $\mu=0,4$, $R_{\max}r_1^{-1} \leq 10^{-4}$, $rR_{\max}^{-1} \leq 10^2$. Такие соотношения между параметрами наблюдаются для большинства реально действующих подшипников скольжения. Тогда, как нетрудно заметить, в интегродифференциальном уравнении (1.10) можно пре-небречь членами $a_1[q(\varphi, t)]^m$, $A_1\varepsilon^2 q(\varphi, t)$, $\varepsilon^2 \beta B q'(\varphi, t)$ и $(2\pi r_1)^{-1} \varepsilon^2 \lambda_2 \times (P \cos \varphi + R \sin \varphi)$ по сравнению с остальными. При этом функция $q(\varphi, t)$, очевидно, становится четной по переменной φ ; $R=0$, а уравнение (1.10) перепишется в форме

$$\begin{aligned} \varepsilon A_0 q(\varphi, t) + \varepsilon \lambda_1 (2\pi r_1)^{-1} P \cos \varphi - a_2 \left\{ \int_0^t [q(\varphi, \tau)]^m d\tau \right\}^m = \\ = 4Gr_1^{-1} \{\Delta - [\delta(t) + \Delta] \cos \varphi\} \quad (|\varphi| \leq \alpha, 0 \leq t \leq T) \end{aligned} \quad (1.11)$$

Переходя в (1.11) к безразмерным переменным и учитывая обозначения $ta_2^{1/m} G^{\gamma-1/m} = t'$, $\alpha(t) = \alpha'(t')$, $q(\varphi, t)G^{-1} = q'(\varphi', t')$, $\Delta r_1^{-1} = \Delta'$, $\delta(t)r_1^{-1} = \delta'(t')$, $P(t)(Gr_1)^{-1} = P'(t')$ (штрихи в дальнейшем опустим), получим

$$\begin{aligned} \varepsilon A_0 q(\varphi, t) + \varepsilon \lambda_1 (2\pi)^{-1} P \cos \varphi - \left\{ \int_0^t [q(\varphi, \tau)]^m d\tau \right\}^m = \\ = 4\{\Delta - [\delta(t) + \Delta] \cos \varphi\} \quad (|\varphi| \leq \alpha, 0 \leq t \leq T) \end{aligned} \quad (1.12)$$

$$P(t) = \int_{-\alpha}^{\alpha} q(\varphi, t) \cos \varphi d\varphi \quad (1.13)$$

2. Пусть $\gamma=1$ и $P(t)=P=\text{const}$. Допустим, что в течение некоторого времени $0 \leq t \leq T_1 \ll T$ происходит приработка рабочих поверхностей вала и втулки (доля этого режима изнашивания в общем ресурсе времени работы сопряжения мала). По прошествии времени T_1 интенсивность изнашивания пары перестает зависеть от степени износа; процесс приработки переходит в режим установившегося во времени износа ($T_1 \leq t \leq T$ и в (1.12) следует положить $m=1$).

Рассмотрим случай, когда реализуется первый режим изнашивания. Предположим при этом, что жесткое перемещение вала вследствие изнашивания поверхности втулки изменяется во времени по закону [7]:

$$\delta_g(t) = \delta_0 + \delta_1 t^m + O(t^{2m}) \quad (t \rightarrow 0) \quad (2.1)$$

где δ_0, δ_1 — постоянные. Будем искать решение интегродифференциального уравнения (1.12) при достаточно малых значениях переменной $t \in [0, T_1]$ в виде

$$\begin{aligned} q_\varepsilon(\varphi, t) = q_0(\varphi) + q_1(\varphi, t) + o[q_1(\varphi, t)] \\ (t \rightarrow 0) \quad q_0(\varphi) = q(\varphi, 0). \end{aligned} \quad (2.2)$$

Подставляя асимптотические разложения (2.1), (2.2) в уравнение (1.12), или, что эквивалентно, применяя повторно предел ($t \rightarrow 0$, φ фиксировано), получаем следующую последовательность линейных задач, решаемых по порядку:

$$A_0 q_0(\varphi) + \lambda_1 (2\pi)^{-1} P \cos \varphi = 4\varepsilon^{-1} [\Delta - (\delta_0 + \Delta) \cos \varphi] \quad (2.3)$$

$$-\varepsilon A_0 q_1(\varphi, t) + t^m [q_0(\varphi)]^m = 4\delta_1 t^m \cos \varphi \quad (|\varphi| \leq \alpha, 0 \leq t \leq T_1) \quad (2.4)$$

Заметим, что поскольку в соотношение (1.12) не входит интегральный оператор по координате, то указанные преобразования будут справедли-

вы, так как φ не зависит от t , а зависимость α от t находится после определения $q_0(\varphi)$ и $q_1(\varphi, t)$ из условия равенства нулю напряжений на краях области контакта. Кроме того, время приработки очень мало в общем ресурсе времени работы сопряжения ($T_1 \ll T$), поэтому практически можно пренебречь изменением области контакта в этом режиме работы подшипника (для легко нагруженного подшипника скольжения [5] $T_1 \leq 1 \cdot 10^{-4}$), записать $\alpha(0) = \alpha_0 \approx \alpha(T_1)$ и поступить далее следующим образом.

Разрешая уравнение (2.3) относительно $q_0(\varphi)$ и используя формулы работы [2], запишем

$$q_0(\varphi) = 4\Delta(A_0\varepsilon)^{-1}[1 - (1+\sigma)\cos\varphi] - \lambda_1(2\pi A_0)^{-1}P \cos\varphi \quad (2.5)$$

$$P = 8\pi\Delta\varepsilon^{-1}[(1+\sigma)x_1 - x_2], \quad \sigma = \delta_0\Delta^{-1}$$

$$x_1 = -\frac{2\alpha_0 + \sin 2\alpha_0}{4\pi A_0 + \lambda_1(2\alpha_0 + \sin 2\alpha_0)}, \quad x_2 = -\frac{4 \sin \alpha_0}{4\pi A_0 + \lambda_1(2\alpha_0 + \sin 2\alpha_0)}$$

Найдем теперь величину $\alpha_0 = \alpha(0)$ из условия обращения напряжения $q_0(\varphi)$ в нуль при $\varphi = \alpha_0$. Из (2.5) получим

$$\sin 2\alpha_0 - 2\alpha_0 - \frac{1}{2}(P\varepsilon A_0/\Delta) \cos \alpha_0 = 0 \quad (2.6)$$

Определяя $q_1(\varphi, t)$ согласно (2.4), будем иметь

$$q_1(\varphi, t) = (A_0\varepsilon)^{-1}\{[q_0(\varphi)]^m - 4\delta_1 \cos\varphi\}t^m \quad (2.7)$$

Постоянную δ_1 в (2.7) найдем из условия статики (1.13)

$$P = \int_{-\alpha_0}^{\alpha_0} q_0(\varphi) \cos\varphi d\varphi, \quad \int_{-\alpha_0}^{\alpha_0} q_1(\varphi, t) \cos\varphi d\varphi = 0$$

или

$$2\delta_1 = (2\alpha_0 + \sin 2\alpha_0)^{-1} \int_{-\alpha_0}^{\alpha_0} [q_0(\varphi)]^m \cos\varphi d\varphi. \quad (2.8)$$

Подставляя (2.7) в (2.2) и выполняя необходимые преобразования, запишем

$$q_g(\varphi, t) = q_0(\varphi) + (A_0\varepsilon)^{-1}\{[q_0(\varphi)]^m - 4\delta_1 \cos\varphi\}t^m \quad (2.9)$$

$$q_0(\varphi) = \frac{4\Delta}{A_0\varepsilon} \left[1 - \frac{\cos\varphi}{\cos\alpha_0} \right]$$

Рассмотрим режим установившегося во времени износа при $T_1 \leq t \leq T$ (большое время) и перепишем исходное интегродифференциальное уравнение (1.12) следующим образом:

(2.10)

$$\varepsilon A_0 q(\varphi, t) + \varepsilon \lambda_1 (2\pi)^{-1} P \cos\varphi - \left[\int_0^{T_1} q^*(\varphi, \tau) d\tau \right]^m - \int_{T_1}^t q(\varphi, \tau) d\tau = \\ = 4\{\Delta - [\delta(t) + \Delta] \cos\varphi\} \quad (|\varphi| \leq \alpha, T_1 \leq t \leq T)$$

$$\delta(t) = \delta_g(T_1) + \delta_\infty(t), \quad q^* = 0 \quad (\alpha_0 \leq |\varphi| \leq \alpha), \quad q^* = q_g(\varphi, t) \quad (|\varphi| < \alpha_0)$$

Заметим, что с учетом равенства $q(\alpha, t) = 0$ из (2.10) найдем

$$\cos\alpha = \Delta[\varepsilon \lambda_1 (8\pi)^{-1} P + \Delta + \delta(t)]^{-1} \quad (2.11)$$

Выражение (2.11) устанавливает связь между жестким перемещением вала вследствие изнашивания поверхности втулки и неизвестной областью контакта шипа с подшипником.

Умножим теперь соотношение (2.10) на $\cos \varphi$ и проинтегрируем в пределах от $-\alpha$ до $+\alpha$; в результате будем иметь

$$2(2\alpha + \sin 2\alpha) [\varepsilon \lambda_1 (8\pi)^{-1} P + \Delta + \delta(t)] - 8\Delta \sin \alpha = \\ = P(t + T_1 + x_3 - A_0 \varepsilon), \quad x_3 = P^{-1} \int_{-\alpha_0}^{\alpha_0} \left[\int_0^{T_1} q_\varepsilon(\varphi, \tau) d\tau \right]^m \cos \varphi d\varphi \quad (2.12)$$

Присоединяя к последнему равенству зависимость (2.11), определим из полученной алгебраической системы $\delta(t)$ и $\alpha(t)$.

Если $\sin \alpha \approx \alpha$ и $\cos \alpha \approx 1 - \alpha^2/2$, то формулы (2.11), (2.12) упрощаются и принимают вид

$$\alpha^2 = 2[\varepsilon \lambda_1 (8\pi \Delta)^{-1} P + \Delta^{-1} \delta(t)] / [1 + \varepsilon \lambda_1 (8\pi \Delta)^{-1} P + \Delta^{-1} \delta(t)] \quad (2.13)$$

$$8\alpha [\varepsilon \lambda_1 (8\pi)^{-1} P + \delta(t)] = P(t - T_1 + x_3 - A_0 \varepsilon)$$

откуда будем иметь

$$\alpha^2 + H(t) \alpha^2 - 2H(t) = 0, \quad H(t) = (8\Delta)^{-1} P(t - T_1 + x_3 - A_0 \varepsilon) \quad (2.14)$$

$$\delta(t) = (8\alpha)^{-1} P(t - T_1 + x_3 - \varepsilon \lambda_1 \pi^{-1} \alpha - A_0 \varepsilon)$$

Отметим, что в силу теоремы Декарта [8] уравнение (2.14) имеет только один положительный корень, определив который, найдем функцию $\delta(t)$ согласно второй формуле (2.14).

Продифференцировав обе части (2.10) по t , перепишем его в форме

$$\varepsilon A_0 q^\circ(\varphi, t) - q(\varphi, t) = -4\delta_\infty(t) \cos \varphi \quad (|\varphi| \leq \alpha, T_1 \leq t \leq T) \quad (2.15)$$

учитывая, что координата φ не зависит от t , такое дифференцирование уравнения (2.10) по времени правомерно.

Решение дифференциального уравнения (2.15) имеет вид

$$q(\varphi, t) = q^*(\varphi, T_1) \exp[(A_0 \varepsilon)^{-1}(t - T_1)] - 4(A_0 \varepsilon)^{-1} \delta_\infty(t) \cos \varphi - \\ - 4(A_0 \varepsilon)^{-2} \cos \varphi \int_{T_1}^t \delta_\infty(\tau) \exp[-(A_0 \varepsilon)^{-1}\tau] d\tau \exp[(A_0 \varepsilon)^{-1}t] \quad (2.16)$$

где $q^*(\varphi, T_1)$ — контактные напряжения, определяемые формулами (2.9), (2.10).

3. Общая схема расчета изнашивания сопряжения вал — втулка по предложенным формулам следующая: задавая величину силы P , находим дугу контакта шипа с подшипником по формуле (2.6); по найденному значению α_0 с учетом формул (2.5) определяются значения величин $\sigma = \delta_0 \Delta^{-1}$ и контактных напряжений $q(\varphi, 0)$; согласно (2.8) вычисляется δ_1 ; находится $q_1(\varphi, t)$ и строится распределение контактных напряжений по формулам (2.8), (2.9) для режима приработки; решая совместно (2.11) и (2.12) либо (2.13), определяются $\delta(t)$ и $\alpha(t)$ как функции времени t ; согласно (2.16), находятся неизвестные контактные напряжения; задавая предельное значение величины $\delta(T) = \delta^*$, определяем ресурс сопряжения вал — втулка по формуле $N = mT(r_1/4)^{1/m} / [2\pi k\rho(G\beta)^{1/m}]$.

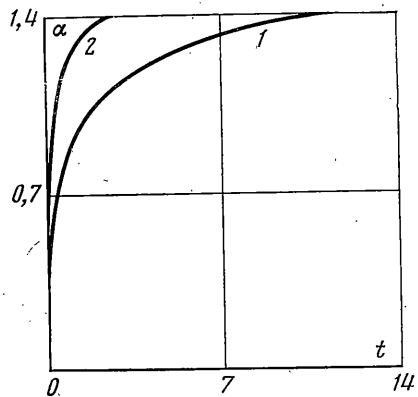
Пусть $v=0,4$; $\Delta=4 \cdot 10^{-3}$; $\varepsilon=0,05$; $m=0,5$; $\beta=0,2$; $P=5 \cdot 10^{-2}$; $P=1 \cdot 10^{-2}$; $T_1=-1 \cdot 10^{-4}$; $\delta^*=0,02$; $k=4,8 \cdot 10^{-12}$. Тогда $A_0=-2/3$; $\lambda_1=0,384$.

Значения некоторых характерных величин при различных значениях приводятся ниже

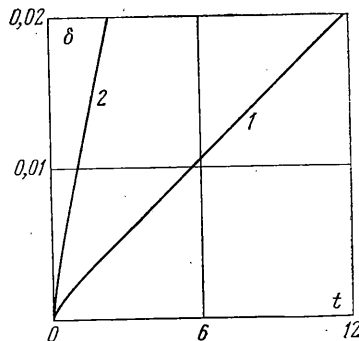
$P \cdot 10^2$	α_0	$\delta_0 \cdot 10^3$	$\delta_1 \cdot 10$	$x_3 \cdot 10$	T	$N \cdot 10^{-7}$	$\alpha(T)$
5,0	0,523	0,655	0,563	0,13	2,33	1,008	1,403
1,0	0,312	0,210	0,0267	0,24	11,23	5,116	1,403

На графиках изображены зависимости между безразмерным временем t и величинами α (фиг. 2), δ (фиг. 3) при $P=5 \cdot 10^{-2}$ (кривые 1) и $P=1 \cdot 10^{-2}$ (кривые 2). Распределение контактных напряжений для указанных значений нагрузок приведено на фиг. 4 (кривые 1, 3, 4 соответствуют $t=0$; $1 \cdot 10^{-4}$; $1,16$ при $P=5 \cdot 10^{-2}$, а кривые 2, 5, 6 — $t=0$; $1 \cdot 10^{-4}$; $7,89$ при $P=1 \cdot 10^{-2}$).

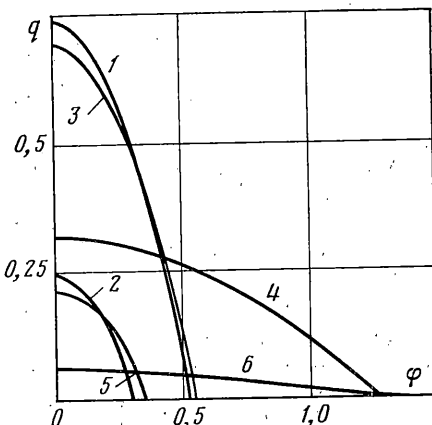
Из графиков видно, что: зависимость δ от t почти линейная (нелинейность проявляется только в начале работы сопряжения) при постоянной силе, действующей



Фиг. 2



Фиг. 3



Фиг. 4

на шип; площадка контакта в конце эксплуатации подшипникового узла увеличивается в 2,7 раза при $P=5 \cdot 10^{-2}$ и в 4,5 раза при $P=1 \cdot 10^{-2}$; в то же время максимальное давление в 2,3 раза уменьшается при $P=5 \cdot 10^{-2}$ (при $P=1 \cdot 10^{-2}$ оно уменьшается в 3,8 раза).

Автор благодарит Н. Х. Арутюняна и В. М. Александрова за внимание к работе и советы.

ЛИТЕРАТУРА

1. Коровчинский М. В. О некоторых вопросах эластореологии, имеющих приложение в теории трения.— В сб.: Трение и износ в машинах. Т. 15. Изд-во АН СССР, 1962, с. 121–162.
2. Александров В. М., Бабешко В. А., Белоконь А. В., Ворович И. И., Устинов Ю. А. Контактная задача для кольцевого слоя малой толщины.— Изв. АН СССР. МТТ, 1966, № 1, с. 135–139.
3. Усов П. П., Дроздов Ю. Н., Николашев Ю. Н. Теоретическое исследование напряженного состояния пары вал – втулка с учетом износа.— Машиноведение, 1979, № 2, с. 80–87.
4. Демкин Н. Б., Расчет и экспериментальное исследование характеристик контакта шероховатых поверхностей.— В сб.: Контактные задачи и их инженерные приложения (докл. конф.). М.: НИИМАШ, 1969, с. 264–271.
5. Крагельский И. В., Добычин М. Н., Комболов В. С. Основные расчеты на трение и износ. М.: Машиностроение, 1977. 526 с.
6. Кащеев В. Н. Процессы в зоне фрикционного контакта металлов. М.: Машиностроение, 1978. 216 с.
7. Александров В. М., Коваленко Е. В. Плоские контактные задачи теории упругости для неклассических областей при наличии износа.— ПМТФ, 1980, № 3, с. 163–172.
8. Корн Г. и Корн Т. Справочник по математике для научных работников и инженеров. М.: Наука, 1977. 832 с.

Москва

Поступила в редакцию
18.V.1981